

Pokročilá evaluace privátnosti na sociálních sítích

Filip Januš*

Abstrakt

V dnešní době stále přetrvává trend přesunu mezilidské komunikace do online prostředí. A to díky sociálním sítím a službám jimi poskytovanými. S tímto faktem souvisí i rostoucí počet uživatelů sociálních sítí. Mnoho uživatelů ovšem nevnímá rizika spojená s přítomností v internetovém prostředí. Tato práce se zaměřuje na analýzu bezpečnostních nastavení uživatelských účtů sociálních sítí a následné vyhodnocení tohoto nastavení. Cílem práce je vytvořit nástroj poskytující možnost vyhodnotit bezpečnostní nastavení uživatelského účtu na sociální síti případně doporučit vhodnější nastavení s ohledem na soukromí uživatele. Aby bylo možné dosáhnout těchto cílů, je potřebné použít vhodný model provádějící vyčíslení skóre privátnosti. Výstupem práce bude návrh a implementace nástroje provádějící analýzu, vyhodnocení a doporučení, jak vylepšit své nastavení soukromí na sociální síti. Což by mělo pomoci uživateli omezit množství uniklých citlivých informací.

Klíčová slova: Sociální síť — Soukromí — Bezpečnost — Skóre soukromí — Nastavení soukromí

Přiložené materiály: N/A

*xjanus08@stud.fit.vutbr.cz, Faculty of Information Technology, Brno University of Technology

1. Úvod

V dnešní době stále populárnějších sociálních sítí, se snadno stává, že bezpečnost soukromých informací na těchto sítích je až druhořadý nebo vůbec neřešený problém. Řada uživatelů má malé nebo žádné povědomí o možnostech nastavení a ochrany osobních údajů na sociálních sítích. Taktéž sociální síť neposkytují uživatelům zpětnou vazbu na jejich nastavení a nakládání se svým soukromím. Nezbytnost řešit tyto problémy a poukazovat na ně dokazuje několik publikací [1, 2] nebo nedávno zveřejněný snímek "V síti".

Výzkumy ukazují, že díky klasifikačním technikám lze efektivně odhalit citlivé informace uživatelského profilu sociální sítě na základě ne mnoha informací, v kombinaci se znalostí příslušnosti do různých skupin nebo v kombinaci se znalostí o účasti v různých aktivitách na sociálních sítích.

Hlavním cílem práce je analyzovat možná nastavení soukromí na sociálních sítích. Tato nastavení vyčíslit pomocí modelů, aby bylo možné vyhodnotit získané informace o nastavení soukromí uživatele. Dále dát uživateli zpětnou vazbu na základě jeho nas-

tavení a doporučit mu nápravná opatření. Přičemž informace budou získávány dvěma způsoby. Interním, při kterém informace o nastavení budou staženy přímo z přihlášeného účtu a nebo externí, při kterém budou informace o uživateli získány z veřejně dostupných zdrojů (vždy pro konkrétní sociální síť).

2. Existující práce

Již několik desítek prací bylo zaměřeno na oblast bezpečnosti na sociálních sítích. Tyto práce se tématem zabíraly z několika různých pohledů. V [1] se autoři zabývají dolováním citlivých dat z publikovaných informací na sociálních sítích, definují zde anonymitu a popisují různé přístupy dolování dat a zabývají se možnými riziky vyzrazení citlivých informací. Jedna z prvních prací zaměřených na internetové sociální síť [3] si kladla za cíl změřit úroveň soukromí, cílem měl být nástroj, který každému uživateli řekne, jakého skóre soukromí dosahuje a popřípadě doporučí nastavení. Je třeba upozornit, že autoři chtěli evaluovat skóre soukromí skupině uživatelů na základě pravděpodobnostních modelů.

Wang a jeho kolegové [4] se zaměřovali na vy-

23
24
25
26
27
28
29
30
31
32
33
34
35
36
37
38
39
40
41
42
43
44

45 číslování soukromí mezi dvěma uživateli, dle nas-
46 tavených atributů, prezentovali již dříve navrhované
47 modely a následně je dále vylepšovány, tak aby lépe
48 reflektovaly uživatelská nastavení.

49 V publikaci [5] se autoři věnovali vývoji aplikace
50 zobrazující procentuální míru ohrožení soukromí uživa-
51 tele sociální sítě. Tato aplikace získává data o uživateli
52 z API sociální sítě Facebook. Autoři se zde rozhodli
53 vyčíslit ohrožení privátnosti na základě informací
54 o vztazích s ostatními uživateli a na základě dostupných
55 informací o přátelích. Taktéž Becker a Chen [6]
56 vyvíjeli nástroj na detekci potencionálních úniků sou-
57 kromých informací, podobně jako v [5] pracovali s in-
58 formacemi o vazbách mezi uživateli a na základě nich
59 se snažili odhalovat soukromé atributy profilů. Z výs-
60 ledků vyplývá, že při testování nástroje na 93 účast-
61 nících se podařilo odhalit necelých 60% soukromých
62 informací. Všechny popsané přístupy se snaží na
63 základě získaných informací odhadovat aktuální nas-
64 tavení a následně doporučovat nastavení.

65 V článku [2] autoři popisují možná bezpečnostní
66 rizika sociálních sítí, několik vybraných popisují de-
67 tailněji, nejvíce prostoru je věnováno aplikacím na-
68 zývaným *trojan applications*. Účelem těchto aplikací
69 je především poskytnout jejich provozovateli infor-
70 mace z profilů uživatelů. Na závěr je zde navrženo
71 také několik protiopatření. Naopak v práci [7] autoři
72 zkoumají uživatelské povědomí o rizicích spojených se
73 sociálními sítěmi. Dále se zde objevuje téma, kde jsou
74 popsána některá úskalí nastavení zabezpečení a možné
75 rozdíly mezi požadovaným a reálným nastavením.

76 3. Motivace

77 Cílem této práce je prostudovat možná nastavení sou-
78 kromí a zabezpečení na různých sociálních sítích. In-
79 formace o nastavení vhodným způsobem agregovat
80 a na základě navržených technik varovat uživatele
81 před přílišnou důvěrou sociálním sítím potažmo in-
82 ternetu. Výsledkem by se měl stát nástroj, kterému
83 uživatel svěří své přihlašovací údaje k sociálním sítím,
84 ten provede kontrolu nastavení z pohledu přihlášeného
85 uživatele a dále zkontroluje viditelné údaje z pohledu
86 nepřihlášeného uživatele. Na základě těchto informací
87 se pomocí matematických modelů provede výpočet
88 míry ohrožení soukromí, dle dosaženého výsledku
89 bude uživateli sděleno jak si stojí a popřípadě může
90 být doporučeno, která nastavení upravit.

91 Zatímco výše popisované práce pracovaly vždy
92 s informacemi poskytovanými prostřednictvím API
93 sociálních sítí nebo s informacemi veřejně dostupnými
94 (členství ve skupinách, různé aktivity, spojení s přáteli),
95 aplikace navrhovaná v této práci, pracuje s informa-

cemi získanými přímo z nastavení profilu, díky čemuž 96
lze dosahovat podstatně přesnějších a detailnějších 97
výsledků než v předchozích pracích. Tato skutečnost 98
je dána především skutečností, kdy API sociálních 99
sítí neposkytují informace o nastavení zabezpečení 100
a soukromí účtu. 101

Další předností navrhované práce je také podpora 102
několika sociálních sítí, zatím co předešlé práce se 103
zaměřovaly pouze na jednu specifickou síť. 104

4. Sociální sítě 105

Sociální síť lze popsat jako internetovou službu umož- 106
ňující svým uživatelům vytvářet vlastní profily, sdílet 107
informace, videa, fotografie, komunikovat, provozovat 108
chat a mnoho dalších aktivit [8, 9]. Existuje celá 109
řada sociálních sítí, které lze dělit dle obsahu, který 110
uživatelé sdílí. Dělení lze provádět také podle lokality, 111
některé sociální sítě jsou specifické jen pro svůj region, 112
například v Číně existuje řada sociálních sítí, které 113
jsou téměř neznámé v Evropě. 114

Z matematického pohledu lze sociální síť považovat 115
za graf, kde vrcholy jsou reprezentovány entitami 116
a hrany vztahy mezi nimi [4]. Existují vztahy orien- 117
tované či neorientované stejně jako v grafu hrany. 118
U neorientovaných vztahů buď to vazba existuje či 119
nikoli. U orientovaných se na vztahu podílí pouze 120
jeden uživatel. Příkladem může být situace, kdy en- 121
tita A zná entitu B, ale B nezná A. Většina sociálních 122
sítí funguje na modelu přátelství, kdy vztah entit je 123
obousměrný. Tj. entita A zná B a B zná A. 124

Důležitým pojmem v kontextu vztahů na sociálních 125
sítích je stupeň separace [4]. Pojem úzce souvisí 126
s viditelností atributů entity. Definuje se jako *funkce h* 127
určující počet kroků mezi entitou A_i a A_j . 128

$$d_{ij} = h(A_i, A_j) \quad (1)$$

V závislosti na stupni separace se v modelech 129
založených na přátelství rozlišují 3 skupiny přátel, 130
tj. přátelé (hodnota *funkce h* rovna 1), přátelé přátel 131
(hodnota *funkce h* rovna 2) a ostatní neboli veřejní, 132
u kterých nabývá *funkce h* hodnoty 3 a více. Do 133
poslední skupiny se řadí i ty entity, které mezi sebou 134
nemají žádnou vazbu. 135

Z pohledu zabezpečení soukromých informací uživa- 136
tele nabízí sociální sítě možnosti ovlivnit zveřejňo- 137
vané informace. Spektrum možných nastavení se různí 138
napříč sociálními sítěmi. Od desítek možných kombi- 139
nací nastavení až po malé jednotky. Například soci- 140
ální síť Facebook umožňuje uživateli konfigurovat 141
sedmáct různých nastavení. Naproti tomu sociální 142
síť Tumblr disponuje pouze 3 nastaveními. Všechny 143
sociální sítě poskytují uživateli možnosti kontrolovat 144

145 své aktivity na síti, také dovolují uživateli stáhnout
146 veškerá data, které uživatel síti poskytl. A to včetně
147 chatových konverzací a záznamů všech akcí na sociální
148 síti. Mezi akce lze zařadit příspěvky označené jako
149 *To se mi líbí* v případě Facebooku. Žádná z analyzo-
150 vaných sítí ovšem neposkytuje jakoukoli formu upo-
151 zornění, zda zveřejnění určitého atributu má či nemá
152 dopad na soukromí uživatele.

153 5. Privátnost a její vyčíslení

154 V průběhu této kapitoly bude popsána metrika pri-
155 vacy score. Dále několik modelů navržených autory
156 v pracích [4], [10] a [3], které na základě údajů o nas-
157 tavení účtů dokáží tuto metriku vyčíslit.

158 5.1 Privacy score

159 Aby bylo možné vhodným způsobem zpracovávat úro-
160 veň soukromí je potřeba mechanismus, který umožní
161 tuto úroveň vyčíslit. Podobné mechanismy již spoleh-
162 livě fungují v různých odvětvích komerčního sektoru.
163 Z toho důvodu byla jedna z metod převzata [3]. Metoda
164 vychází z již fungujících technik pro určování skóre en-
165 tity. Tyto techniky se používají například v bankovníc-
166 tví, kde se určuje bonita nebo důvěryhodnost klienta
167 na základě jeho vlastností. Tato metoda se v kontextu
168 soukromí na sociálních sítích nazývá Privacy score.
169 Indikuje potenciální nebezpečí pro soukromí entity.
170 Platí, že čím vyšší privacy score tím vyšší riziko.

171 Evaluace privátnosti/soukromí není zcela triviální
172 disciplínou. Již definice privátnosti může být problem-
173 atická neboť je subjektivní a různí lidé mohou chápat
174 privátnost odlišně. Také váha jednotlivých vlastností
175 soukromí může být napříč populací různá. Například
176 jeden člověk považuje telefonní číslo za velmi citlivou
177 informaci, zatím co jiný může považovat tuto infor-
178 maci za naprosto nepodstatnou.

179 Ovšem z druhé strany, ač se mohou uživateli zdát
180 některé z vlastností nepodstatné, opak může být prav-
181 dou. Toto dokazují například publikace [10, 2], kde
182 jsou jednoznačně definovány některé atributy, které
183 mají značný dopad na soukromí uživatele bez ohledu
184 na subjektivní vnímání.

185 Na základě těchto znalostí vznikla řada přístupů
186 a modelů pro evaluaci privátnosti a výpočet privacy
187 score.

188 5.2 Virtuální atribut

189 Jak bylo popsáno výše existují vlastnosti/atributy, které
190 mají dopad na soukromí, i když se mohou zdát nepod-
191 statné. V některých případech se jedná o tzv. virtuální
192 nebo také kompozitní atribut, který se skládá z něko-
193 lika jiných atributů. Kombinace několika zdánlivě

nepodstatných atributů může vést k odhalení podstatné
části soukromí uživatele. Například v práci [10] se
poukazuje na skutečnost, že 87% obyvatel Ameriky
lze identifikovat na základě poštovního směrovacího
čísla, pohlaví a data narození. Ačkoliv každý z těchto
atributů samostatně pro soukromí nepředstavuje značné
riziko dohromady mohou vést k unikátní identifikaci
jedince.

5.3 Popis entity

Aby bylo možné jednoduše pracovat s jednotlivými
položkami entity při evaluaci privátnosti v rámci OSN
(Online social network), používá se u většiny modelů
popis založený na maticích tzv. Odpovědní matice [3].

Přínos tohoto zápisu spočívá v jednotném přístupu
k popisování vlastností entity v OSN napříč různými
výpočetními modely. Pro evaluaci konkrétní hodnoty
atributu konkrétní entity bude v rámci práce používán
následující zápis: $R(i,j)=x$, kde R je odpovědní matice,
 i je uživatel (řádek matice), j je konkrétní vlastnost
(sloupec matice) a x je příslušná hodnota z odpovědní
matice. Příkladem může být interpretace: uživatel i
je ochotný vlastnost j sdílet s ohledem na x , kde x
udává míru ochoty tuto informaci sdílet. Například při
použití dvoustavového nastavení 0 označuje neochotu
sdílet tuto informaci, na druhé straně hodnota 1 udává
ochotu informaci sdílet.

5.4 Model citlivosti a viditelnosti

Prvním zástupcem modelů evaluace je základní model
citlivosti a viditelnosti [3] využívaný i dalšími pokro-
čilejšími modely. Základními složkami pro výpočet
privacy score tímto modelem jsou:

- citlivost nebo-li privátnost vlastnosti i je označována jako β_i . Problematikou nastavení vah jednotlivých atributů se zabývá práce [10], z které vychází tabulka 1, kde jsou zobrazeny váhy vybraných atributů. Pro tento výpočetní model platí, že se zvyšující se citlivostí vlastnosti i roste také privacy score entity.
- viditelnost vlastnosti i entity j se značí $V(i,j)$, kde funkce V je definována pomocí stupně separace. Viz definice níže. Platí, že s rostoucím počtem uživatelů se kterými je informace o vlastnosti sdílena, roste i privacy score entity.

$$V(i,j)=\begin{cases} 0, & \text{pokud } i \text{ vidí pouze sám} \\ 1, & \text{pokud } i \text{ vidí přátelé} \\ 2, & \text{pokud } i \text{ vidí přátelé přátel} \\ 3, & \text{pokud } i \text{ vidí všichni} \end{cases} \quad (2)$$

	Váha atributu[%]
Jméno	15
Vzdělání	15
Stav	25
Rodinní příslušníci	25
Pohlaví	25
Město	45
Stát	45
Fotky	45
List přátel	60
E-mail	65
Domovské město	65
Navštívená místa	65
Datum narození	65
Telefonní číslo	70
Aktuální pozice	80
Rodné číslo	90

Tabulka 1. Tabulka citlivostí atributů (Zdroj:[10])

	Název nastavení	Nastavení	Viditelnost	Váha[%]
1	Web & App Aktivita	Zapnuto	1	65
2	Historie polohy	Pozastaveno	0	65
3	YouTube historie	Zapnuto	1	60
4	Kontakty z interakcí	Zapnuto	1	60
5	Kontakty ze zařízení	Pozastaveno	0	60

Tabulka 2. Příklad nastavení účtu Google

Všechny varianty PIDX pracují s viditelností atributů resp. se stupněm separace a s výše definovaným PIF. Jednotlivé metody se liší pouze postupem výpočtu.

Index privátnosti PIDX je definován jako míra vyzrazení soukromí entity A_j směrem k entitě A_i . V rámci této práce bude vždy zkoumán jeden konkrétní účet sociální sítě vůči okolí, tím pádem lze zápis funkcí modelu mírně zjednodušit oproti definicím uvedeným v [10]. Funkce PIDX nabývá hodnot z intervalu $\langle 0, 100 \rangle$. Vysoká hodnota PIDX znamená vysoké prozrazení soukromých informací entity.

Nechť existuje množina $S = \{s_1, s_2, \dots, s_n\}$ obsahující PIF váhy pro jednotlivé atributy a vektor $V = (v_1, v_2, \dots, v_n)$ obsahující hodnoty viditelnosti, které odpovídají jednotlivým atributům entity. Jak bylo zmíněno výše existují 3 různé varianty indexu privátnosti PIDX:

1. w-PIDX vyčísluje privátnost vztahem

$$w - PIDX(V, S) = \frac{\sum_{j=1}^n V(j)s_j}{\sum_{j=1}^n s_j} \quad (5)$$

2. m-PIDX měří maximální možné odhalení privátnosti entity A_j směrem k A_i

$$m - PIDX(V, S) = \max(V(1)s_1, \dots, V(n)s_n) \quad (6)$$

kde funkce max vrací ze zadaných hodnot tu maximální.

3. c-PIDX nebo-li kompozitní PIDX, jak napovídá název tato metoda v sobě kombinuje dva předchozí přístupy w-PIDX a m-PIDX, což může být zapsáno jako:

$$c - PIDX(V, S) = m - PIDX(V, S) + \quad (7)$$

$$(100 - m - PIDX(V, S)) \cdot \frac{w - PIDX(V, S)}{100}$$

Zatímco, w-PIDX reflektuje inkrementální změny atributu, m-PIDX se hodí spíše pro hodnocení aktuálního soukromí, těchto dvou vlastností využívá poslední zástupce c-PIDX a snaží se kombinovat výhody obou přístupů [4].

Příkladem použití může být aplikace modelu C-PIDX na výchozím nastavení Google účtu, které je

Na základě výše definovaných vlastností se privacy score definuje jako monotonně rostoucí funkce dvou parametrů, citlivosti (privátnosti) a viditelnosti informací o entitě. Příkladem poukazující na důležitost parametru citlivosti může být scénář, kdy entita j , v tomto případě uživatel sdílí dvě osobní informace, telefonní číslo x a vzdělání y . Situace $R(x, j) = 1$ && $R(y, j) = 0$ je mnohem nebezpečnější z pohledu citlivosti sdílených informací než $R(x, j) = 0$ && $R(y, j) = 1$. V tomto případě i když velká skupina lidí bude znát vzdělání uživatele j není to stejné jako kdyby stejná skupina lidí znala jeho telefonní číslo.

Privacy score entity j je vypočítáno na základě následujícího vztahu:

$$PR(j) = \sum_{i=1}^n PR(i, j) = \sum_{i=1}^n \beta_i * V(i, j) \quad (3)$$

5.5 PIDX (Privacy Index)

Dalším z modelů vyčíslující soukromí entity resp. privacy score je PIDX [4]. Měří úroveň publicity jedné entity vzhledem k jiné. Model PIDX pracuje se třemi metrikami: známé atributy, jejich citlivost a viditelnost. Na základě kombinací těchto metrik se určí míra ohrožení soukromí entity. Dle zvolené kombinace a kombinačního přístupu k metrikám se rozlišují tři typy: w-PIDX váhovaný PIDX, m-PIDX (maximum PIDX) a c-PIDX (composite PIDX).

Aby byla brána v potaz citlivost atributu, je každému atributu přidělen PIF (privacy impact factor). PIF je numerická hodnota mezi 0 a 1, kde 1 znamená maximální citlivost atributu. Pro výpočet PIF se použije vzorec 4, kde i značí konkrétní atribut a W_{max} maximální hodnotu citlivosti, konkrétní hodnoty lze nalézt v dříve prezentované tabulce vah 1.

$$PIF(i) = \frac{W(i)}{W_{max}} \quad (4)$$

303 zobrazeno v tabulce 2. Pro výpočet privacy score je za-
 304 potřebí množina V_i , která je reprezentována sloupcem
 305 viditelnost a množina vah S_i . Váhy se vypočtou dle
 306 vztahu 4. Například pro nastavení *Historie polohy*:

$$PIF(2) = \frac{60}{65} \quad (8)$$

307 Dále se již jen dosadí známé hodnoty do rovnic 5,
 308 6, 7, čímž se získá výsledné privacy score modelem
 309 C-PIDX.

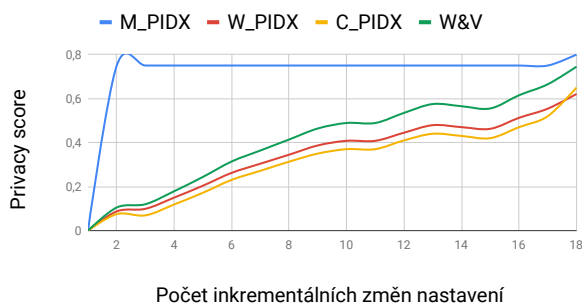
310 6. Výběr modelu

311 Aby bylo možné vybrat co nejvhodnější model pro
 312 vyčíslení privátního skóre, bylo provedeno testování
 313 a vyhodnocení chování modelu v různých situacích.

314 6.1 Inkrementální změny

315 V rámci prvního přístupu je sledováno chování modelu
 316 při inkrementálních změnách atributů. Inkrementální
 317 změnou atributů je myšleno postupné přidávání resp.
 318 zveřejňování jednotlivých atributů. Jinými slovy: test
 319 T_1 zveřejňuje informace jednoho atributu, T_2 infor-
 320 mace dvou atributů až T_n . Počet testů v rámci diskuto-
 321 vaného přístupu je roven počtu nastavovaných atributů.
 322 Tyto atributy byly označeny T_1 až T_{17} , společně s příslu-
 323 šnými váhami jsou zobrazeny v tabulce 3. Zdro-
 324 jem tabulky jsou bezpečnostní nastavení sítě Facebook.
 325 Protože v rámci testování vlastností modelů je význam
 326 jednotlivých položek nastavení irelevantní, byly názvy
 327 pomínuty. Testování tohoto přístupu bylo postupně
 328 provedeno na všech čtyřech prezentovaných modelech
 329 a výsledky byly vyneseny do grafu. Díky tomu, že
 330 modely pracují v různých intervalech, bylo nutné hod-
 331 noty před vynášením do grafu normalizovat.

Inkrementální změny nastavení



Obrázek 1. Výsledek testování inkrementálních změn

332 Tento postup byl již použit pro modely třídy PIDX
 333 v práci [4]. V rámci této práce byl výsledek ověřen
 334 a přidán jeden další model. Na základě naměřených
 335 hodnot byly potvrzeny dříve publikované závěry
 336 a to, že model W-PIDX dobře reflektuje inkrementální

Položka	váha[%]	Položka	váha[%]
T1	25	T10	80
T2	60	T11	80
T3	50	T12	20
T4	50	T13	30
T5	0	T14	40
T6	-10	T15	80
T7	-10	T16	25
T8	80	T17	15
T9	20		

Tabulka 3. Testovací data vycházející z výchozího nastavení sítě Facebook

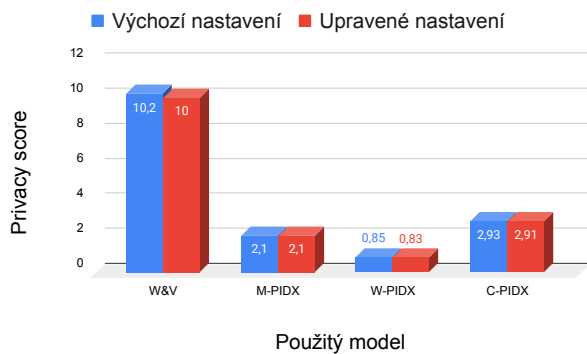
změny, ale má jisté potíže s reflektováním aktuálně 337
 zveřejněného atributu. Dále bylo vyzorováno, že W- 338
 PIDX má tendenci vyhlazovat skokové změny. Naproti 339
 tomu model M-PIDX dobře odráží skokové změny, ale 340
 neumí pracovat s inkrementálními změnami atributů. 341
 Což je vidět na obrázku 1, kdy většina výstupních hod- 342
 not modelu je stejná až na skokové změny. Výhody 343
 obou těchto modelů by měl kombinovat model C- 344
 PIDX. Dobře reflektuje inkrementální změny a také re- 345
 flektuje změny aktuálního atributu. Tento fakt lze vidět 346
 na obrázku 1 a to zejména v okolí třetího a sedmáctého 347
 testu. 348

Posledním testovaným modelem je model váhy 349
 a viditelnosti zobrazený zeleně na obrázku 1. Model 350
 se chová velice podobně jako W-PIDX a taktéž má 351
 problém se skokovými změnami. 352

353 6.2 Reflektování nastavení zlepšující skóre

354 V možnostech nastavení některých sociálních sítí se 354
 objevují nastavení, která jdou protichůdným směrem 355
 oproti klasickým nastavením atributů. Za klasické 356
 nastavení atributu se považuje situace, kdy se nas- 357
 tavuje, zda atribut sdílet či nikoli, tedy při sdílení 358
 s okolím má různě velký negativní dopad na soukromí. 359
 Naopak tato protichůdná nastavení by měla aktivaci 360
 soukromí uživatele chránit. Příkladem takového nas- 361
 tavení (tab. 3 položka T_7) je v síti Facebook: *Chcete* 362
kontrolovat příspěvky, ve kterých vás někdo označil, 363
než se budou moct zobrazit na vaší timeline?. Nas- 364
 tavení umožňuje uživateli ovlivňovat a kontrolovat 365
 co se mu zobrazí na profilu, resp. provádět "cen- 366
 zuru" svého profilu. V rámci práce jsou tato nas- 367
 tavení považována za přínosná a mohou mírně poz- 368
 itivně ovlivnit soukromí. Aby bylo docíleno poz- 369
 itivního přínosu nastavení, je jeho váha nastavena na 370
 zápornou hodnotu. 371

Podstatným kritériem při výběru vhodného mod- 372
 elu pro nástroj je schopnost reflektovat výše popsané 373
 nastavení. Pro testování tohoto scénáře byly nejprve 374
 aplikovány všechny prezentované modely na výchozí 375
 nastavení sítě Facebook, kde jsou nastavení T_6 a T_7 376
 z tabulky 3 vypnuty. Poté bylo přidáno nastavení: 377



Obrázek 2. Výsledek testování nastavení s pozitivním efektem

378 *Chcete kontrolovat příspěvky, ve kterých vás někdo*
 379 *označil, než se budou moct zobrazit na vaší timeline?*
 380 *(T_7). Nad takto upravenou konfigurací nastavení byly*
 381 *opět provedeny výpočty všech podporovaných modelů.*
 382 *Výsledky jsou graficky znázorněny na obrázku 2.*

383 Lze si zde všimnout, že model M-PIDX pravděpo-
 384 dobně nesplňuje požadavky na reflektování popisova-
 385 ných nastavení, jelikož model v obou případech do-
 386 jde ke stejné hodnotě privátního skóre. U ostatních
 387 modelů lze vidět mírné zlepšení (snížení privátního
 388 skóre) po aplikování výše diskutovaných nastavení.

389 6.3 Vyhodnocení

390 Jako výchozí model byl pro tuto práci zvolen C-PIDX.
 391 Jelikož inkrementální testování potvrdilo předešlé výs-
 392 ledky publikované v [4] a také ukázalo, že ani model
 393 váhy a viditelnosti neposkytuje lepší výsledky z pohle-
 394 du reflektování skokových změn.

395 Při hodnocení modelů na základě nastavení, která
 396 by měla pozitivně ovlivňovat privátní skóre, se vy-
 397 loučil model M-PIDX a ostatní modely se chovaly
 398 velice podobně.

399 Byl také brán zřetel na závěry autorů modelů PIDX,
 400 kteří uvádí v [4], že C-PIDX nejlépe z navrhovaných
 401 modelů reflektuje kompozitní atributy.

402 7. Návrh řešení

403 Navrhovaný systém by se měl skládat ze tří hlavních
 404 částí, z extraktoru, evaluátoru a modulu vyhodnocení.
 405 Vstupním bodem do nástroje bude extraktor, v závis-
 406 losti na jeho výstupu bude pracovat evaluátor, což bude
 407 stěžejní komponenta celého nástroje, neboť bude na
 408 základě dostupných informací a za pomoci dříve vy-
 409 braného modelu provádět vyčíslování skóre soukromí.
 410 Poslední v řetězci bude modul vyhodnocení prezen-
 411 tující výsledky uživateli. Kompletní schéma systému
 412 je zobrazeno na obr. 3.

Nástroj bude podporovat dva základní režimy: In- 413
 terní a externí. V interním režimu aplikace provede 414
 přihlášení na sociální síť, zde vyhledá a extrahuje in- 415
 formace o nastavení soukromí, které jsou následně 416
 vyhodnoceny a prezentovány uživateli. Externí přístup 417
 zjišťuje informace o uživateli z pohledu třetí osoby a na 418
 základě zjištěných informací se dedukuje aplikované 419
 nastavení účtu. 420

Prezentace výsledku spočívá v zařazení uživatele 421
 do skupiny s obdobným nastavením soukromí účtu. 422
 Uživateli bude také poskytnuta možnost nechat si pora- 423
 dit, které položky nastavení upravit za účelem zlepšení 424
 zabezpečení soukromí. 425

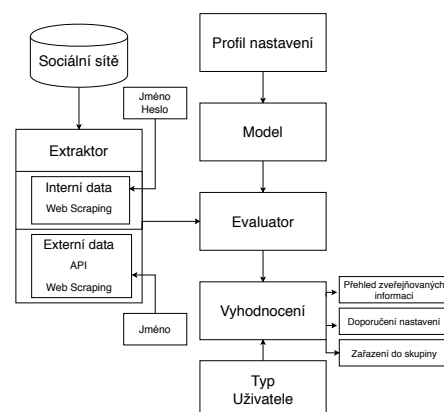
Cílové řešení by měla představovat aplikace, které 426
 uživatel poskytne přihlašovací údaje k účtu sociální 427
 síť. Aplikace se přihlásí, zjistí aktuální nastavení 428
 zabezpečení a soukromí. Tyto informace vyhodnotí 429
 a sdělí uživateli procentuální míru ohrožení jeho citli- 430
 vých informací. V případě nespokojenosti uživatele 431
 s výsledkem mu bude nabídnuta pomoc ve formě jedno- 432
 duché nápovědy. Tato nápověda by měla uživateli 433
 sdělit, které položky nastavení představují největší 434
 hrozbu pro jeho soukromí. A uživatel se již sám bude 435
 moci rozhodnout, zda nastavení upraví či nikoli. 436

8. Implementace a testování

Navrhovaný nástroj byl prozatím implementovaný jako 438
 konzolová aplikace s ohledem na plánované rozšíření 439
 o grafické rozhraní. 440

Aplikace aktuálně podporuje funkcionalitu, která 441
 byla popsána v 7, přičemž se používá vybraný model 442
 C-PIDX. Momentálně je plně podporována sociální 443
 síť Facebook. Tj. na základě přihlašovacích údajů 444
 poskytnutých uživatelem, provede extrakci informací 445
 z jeho účtu, evaluuje nastavení, sdělí uživateli míru 446
 ohrožení, případně doporučí, která nastavení by šla 447
 upravit tak, aby bylo soukromí uživatele více chráněno. 448

Pro implementaci byl zvolen jazyk Python jelikož 449



Obrázek 3. Navrhovaná architektura systému

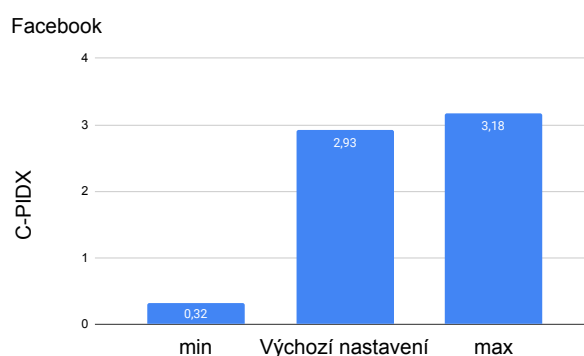
450 disponuje širokou škálou modulů umožňujících práci
451 s webovými stránkami. Taktéž podporuje framework
452 Selenium, což je nástroj dovolující automatizovaně
453 procházet webu skrze webový prohlížeč. Tato tech-
454 nologie byla použita z důvodu potřeby překonat ap-
455 plikační firewally sociálních sítí.

456 Dosavadní testování probíhalo pouze na testova-
457 cích účtech. Neboť pro ověření funkcionality nebylo
458 zapotřebí pracovat s reálnými daty. Tato část testování
459 se zaměřovala především na komponentu extraktoru,
460 která zajišťuje vstupní data pro práci nástroje, tj. staže-
461 ní a parsování dat. Testování proběhlo na dvou testova-
462 cích účtech pro každou podporovanou sociální síť.
463 Na jednom účtu byla ponechána výchozí konfigurace.
464 Příkladem tohoto vstupu je tabulka 3. Na účtu druhém
465 byly náhodné položky nastavení pozměněny. Nakonec
466 byla data získaná nástrojem manuálně porovnávána
467 s daty na sociální síti. Jelikož bylo nezbytné při použití
468 frameworku Selenium pracovat s prodlevou mezi staže-
469 ním a kompletním načtením stránky včetně provedení
470 všech scriptů. Bylo testování prováděno opakovaně.
471 Při několika běžích testů bylo zjištěno, že tato prodle-
472 va může způsobovat potíže při hledání HTML ele-
473 mentů stránky. Pro zamezení tomuto problému byl
474 přidán mechanismus, kdy při detekci tohoto chování je
475 přidána prodleva dvě sekundy a poslední chybná akce
476 se opakuje s takto nastavenou prodlevou. V případě
477 opětovného neúspěchu se tento mechanismus opakuje
478 znovu. Hodnota dvě sekundy byla zvolena na základě
479 pozorování během testování.

480 Testování proběhlo pro sociální síť Facebook,
481 Twitter, LinkedIn a platformu Google. Během testová-
482 ní byl odhalen pouze problém popsany výše i s jeho
483 případným řešením.

484 Dále bylo provedeno za pomoci dříve vybraného
485 modelu experimentální měření privátnosti pro výchozí
486 nastavení síť Facebook. Také byly měřeny extrémní
487 situace nastavení, tj. situace kdy uživatel sdílí veškeré
488 informace v co nejširším okruhu ostatních účastníků
489 a kdy uživatel omezí sdílení informací na co nejmenší
490 množství podle možností sociální sítě.

491 Výsledky experimentálního měření v síti Facebook
492 jsou zobrazeny na obrázku 4. Lze zde vidět velký
493 skok mezi minimálním sdílením informací a výchozím
494 nastavením a dále již menší nárůst mezi výchozím
495 nastavením a maximálním sdílením. Což odráží real-
496 itu, neboť ve výchozí konfiguraci Facebook zakazuje
497 pouze sdílení polohy a několik méně podstatných polo-
498 žek, které nemají přílišný dopad na soukromí, ale
499 položky s velkým dopadem jako *Kdo vás může vyhle-
500 dat pomocí telefonního čísla, které jste zadali?* jsou
501 povoleny.



Obrázek 4. Naměřené hodnoty na síti Facebook při výchozí konfiguraci a při mezních konfiguracích

9. Shrnutí a pokračování práce

502

Práce se zabývá soukromím na internetu resp. na 503
sociálních sítích, což je velmi diskutované téma 504
v dnešní době. V rámci práce byl vytvořen nástroj/apli- 505
kace, která pomůže běžnému uživateli zorientovat se 506
v poměrně novém prostředí. Taktéž může být tento 507
nástroj považovaný za varovný prostředek pro některé 508
uživatele, kteří si ne zcela uvědomují skrytá nebezpečí 509
internetu. Aplikace umí sbírat informace přímo z nas- 510
tavení uživatele, což je hlavní předností této práce. 511
Díky této funkcionalitě se pracuje s nejpřesnějšími 512
daty a je poskytováno přesné zhodnocení soukromí 513
a tím pádem i přesná doporučení, jak zlepšit nastavení 514
zabezpečení privátních informací účtu. 515

V rámci práce byly analyzovány jednotlivé sociální 516
sítě a jejich nastavení. Hlavním cílem práce je tato nas- 517
tavení vyčíslit, tak aby bylo možné použít nějakou 518
míru a orientační stupnici, dle které si bude uživatel 519
moci upravit svá nastavení. Popřípadě uživateli do- 520
poručit, které položky nastavení upravit. 521

Aktuálním výsledkem je konzolová aplikace použi- 522
telná pro měření privátnosti v sociální síti Facebook 523
s možností poskytnout nápovědu, jakým způsobem 524
upravit nastavení. Pro jiné sociální sítě zatím není 525
podporována nápověda. 526

Další pokračování práce bude spočívat v rozšíření 527
kompletní funkcionality pro další sociální síť (Twitter, 528
Google, LinkedIn) a poté se bude zabývat především 529
testováním, zejména uživatelským testováním. Před- 530
pokládá se, že do testování bude zahrnuto dvacet 531
uživatelů se svým nastavením soukromí na různých 532
sociálních sítích. Výsledkem by mělo být pravděpo- 533
dobnostní rozložení skóre soukromí. Dále budou urče- 534
ny extrémní skóre privátnosti pro další sociální síť. Na 535
základě těchto testů by se měli dle skóre soukromí 536
rozdělit uživatelé do několika skupin, do kterých bude 537
následně prováděna klasifikace. 538

539 10. Poděkování

540 Tímto bych chtěl poděkovat vedoucímu své práce Mgr.
541 Kamilu Malinkovi Ph.D. za odborné vedení a cenné
542 rady.

543 Literatura

544 [1] Elena Zheleva, Evimaria Terzi, and Lise Getoor.
545 Privacy in social networks. In *Synthesis Lectures*
546 *on Data Mining and Knowledge Discovery*, vol-
547 ume 3, pages 1–85, 2012-03-31.

548 [2] Fredrik Erlandsson, Martin Boldt, and Henric
549 Johnson. Privacy threats related to user profiling
550 in online social networks. In *2012 International*
551 *Conference on Privacy, Security, Risk and Trust*
552 *and 2012 International Confernece on Social*
553 *Computing*, pages 838–842. IEEE, 2012.

554 [3] Kun Liu and Evimaria Terzi. A framework for
555 computing the privacy scores of users in online
556 social networks. In *ACM Transactions on Knowl-*
557 *edge Discovery from Data*, volume 5, pages 1–30,
558 2010-12-01.

559 [4] Yong Wang, Raj Kumar Nepali, and Jason Niko-
560 lai. Social network privacy measurement and
561 simulation. In *2014 International Conference*
562 *on Computing, Networking and Communications*
563 *(ICNC)*, pages 802–806. IEEE, 2014.

564 [5] Nilothpal Talukder, Mourad Ouzzani, Ahmed K.
565 Elmagarmid, Hazem Elmeleegy, and Mohamed
566 Yakout. Privometer. In *2010 IEEE 26th Interna-*
567 *tional Conference on Data Engineering Work-*
568 *shops (ICDEW 2010)*, pages 266–269. IEEE,
569 2010.

570 [6] Justin Lee Becker and Hao Chen. Measuring pri-
571 vacy risk in online social networks. 2009. Dos-
572 tupné z [https://web.cs.ucdavis.edu/](https://web.cs.ucdavis.edu/~hchen/paper/w2sp2009.pdf)
573 [~hchen/paper/w2sp2009.pdf](https://web.cs.ucdavis.edu/~hchen/paper/w2sp2009.pdf).

574 [7] Michelle Madejski, Maritza Johnson, and
575 Steven Bellovin. The failure of online social
576 network privacy settings. 01 2011. Dos-
577 tupné z [https://www.researchgate.](https://www.researchgate.net/publication/229046080_The_Failure_of_Online_Social_Network_Privacy_Settings)
578 [net/publication/229046080_](https://www.researchgate.net/publication/229046080_The_Failure_of_Online_Social_Network_Privacy_Settings)
579 [The_Failure_of_Online_Social_](https://www.researchgate.net/publication/229046080_The_Failure_of_Online_Social_Network_Privacy_Settings)
580 [Network_Privacy_Settings](https://www.researchgate.net/publication/229046080_The_Failure_of_Online_Social_Network_Privacy_Settings).

581 [8] Joon S. Park, Kevin A. Kwiat, Charles A.
582 Kamhoua, Jonathan White, and Sookyung Kim.
583 Trusted online social network (osn) services with
584 optimal data management. volume 42, pages
585 116–136, 2014.

586 [9] Česká terminologická databáze knihovnictví a
587 informační vědy (tdkiv), 2003.

[10] Yong Wang and Raj Kumar Nepali. Privacy mea- 588
589 surement for social network actor model. In *2013*
590 *International Conference on Social Computing*,
591 pages 659–664. IEEE, 2013.